

SPEEDAS training session (28 Mar. 2018)

Advanced course [1 of 2]

Arase/PWE OFA-MATRIX analysis

OFA-SPEC (every 1 s in the nominal mode)

OFA-SPEC is the auto-spectra of a selected channel for electric field (E_U or E_V or $|E|$) and magnetic field (B_α or B_β or B_γ or $|B|$) from a few Hz to 20 kHz.

OFA-MATRIX (every 8 s in the nominal mode)

OFA-MATRIX is the variance-covariance matrix for the propagation direction finding and polarization analyses. Since the two CPUs individually produce electric and magnetic field spectral matrices (S_E and S_B), OFA-MATRIX does not measure any cross-spectra of an electric and magnetic field signal.

$$S_E(\omega) = \frac{1}{4} \sum_{n=0}^4 \begin{pmatrix} |E_u^{(n)}|^2 & E_u^{(n)} E_v^{(n)*} \\ E_v^{(n)} E_u^{(n)*} & |E_v^{(n)}|^2 \end{pmatrix} \quad S_B(\omega) = \frac{1}{4} \sum_{n=0}^4 \begin{pmatrix} |B_\alpha^{(n)}|^2 & B_\alpha^{(n)} B_\beta^{(n)*} & B_\alpha^{(n)} B_\gamma^{(n)*} \\ B_\beta^{(n)} B_\alpha^{(n)*} & |B_\beta^{(n)}|^2 & B_\beta^{(n)} B_\gamma^{(n)*} \\ B_\gamma^{(n)} B_\alpha^{(n)*} & B_\gamma^{(n)} B_\beta^{(n)*} & |B_\gamma^{(n)}|^2 \end{pmatrix}$$

OFA-COMPLEX (every 8 s in the nominal mode)

OFA-COMPLEX is the complex spectra calculated using the FFT of the observed waveforms. The complex spectra for all five components are always generated simultaneously. We can calculate a Poynting flux, and determine an absolute direction of a plasma waves by using the OFA-MATRIX data and the OFA-COMPLEX data.

1. CDF読み込み

- PWE/OFA-MATRIX L2(pre)
- MGF 64Hz L2(pre)

2. 背景磁場座標系への回転行列を計算

- MGF 64HzデータをOFA-MATRIXデータの時刻に合わせて内挿

3. スペクトルマトリクス(SGI座標系)を背景磁場座標系に変換

4. スペクトルマトリクスの対角成分(パワースペクトル)をプロット

5. 伝搬ベクトルの向きを推定

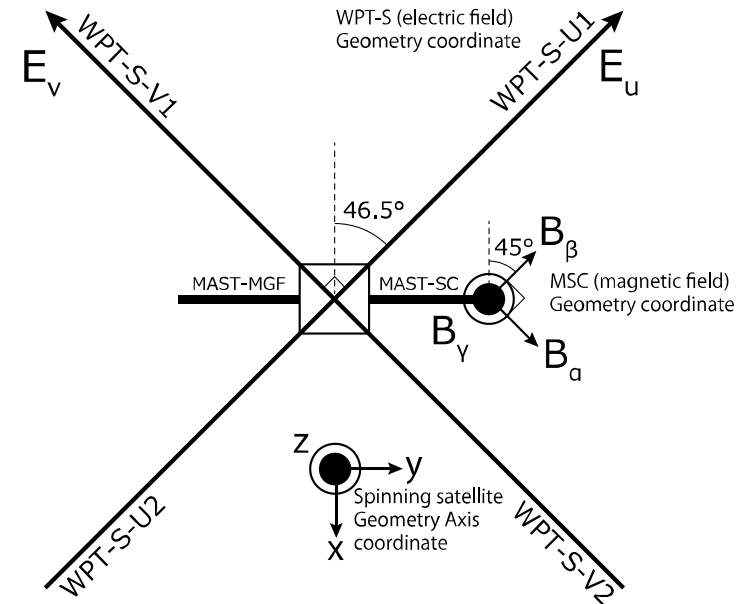
- Means' method

6. 偏波を計算

7. 解析結果をパワーでマスク

8. サイクロトロン周波数をオーバープロット

- MGF 8sec L2 CDFを読み込み

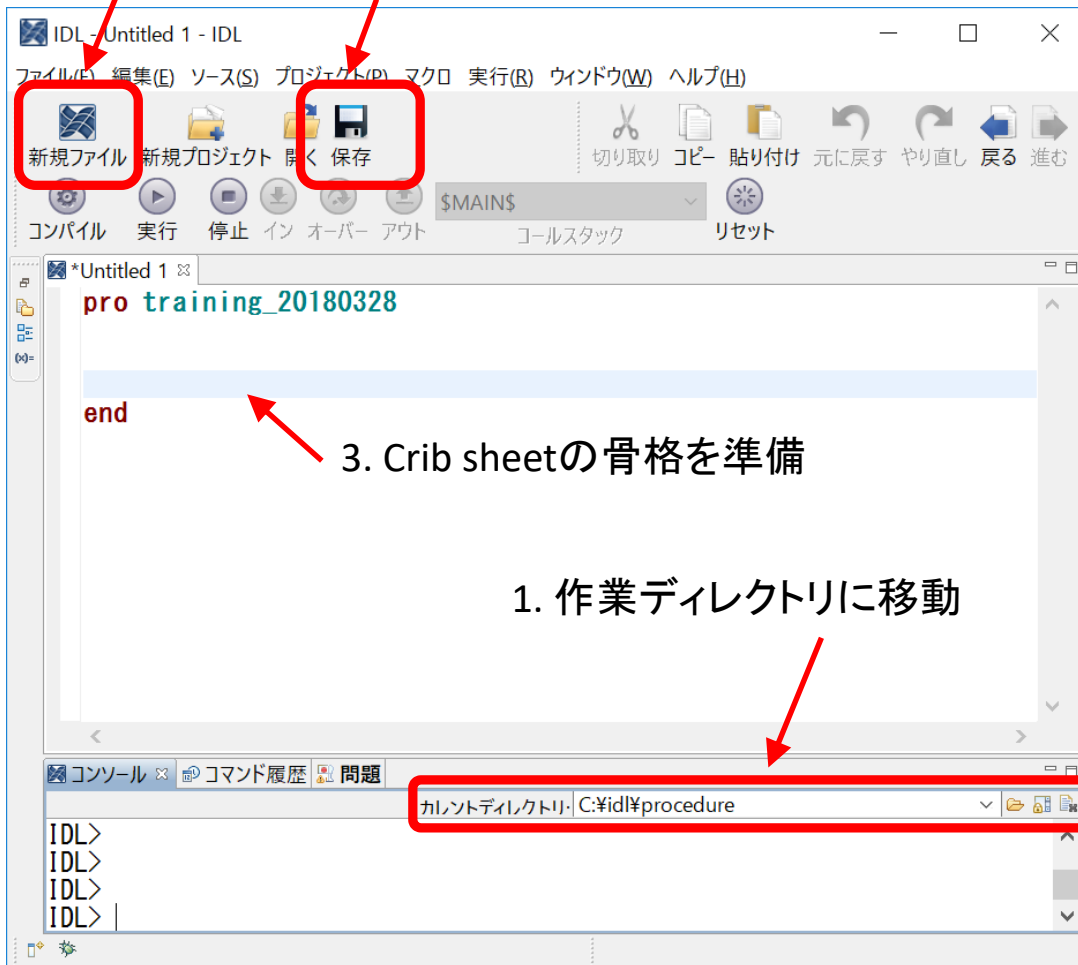


0. crib sheetを作成する準備

0.1 コンソールからの入力では、複雑な手順を記述することが困難です。
Crib sheet(手順書・スクリプト)を作成しましょう。

2. 新規ファイルを作成

4. プロシージャ名と同じ名前で保存



3. Crib sheetの骨格を準備

1. 作業ディレクトリに移動

0.2

以下のコマンドで、crib sheetの途中で「一時停止」「再開」ができます

(Crib sheet)

```
; *****
; test
; *****
print, 'test1'

;stopコマンドで一時停止
stop

print, 'test2'
```

(Console)

```
test1
% Stop encountered: *****
> .cont
test2
```

1. 必要なファイルの読み込み

1.1 ファイルのダウンロード設定を, 講習会用に変更します.

```


; *****
; settings for the training
; *****
erg_init, remote_data_dir= $
      'https://ergsc.isee.nagoya-u.ac.jp/data/ergsc_training/nagoya_201803/'

uname = '*****'
pass =  '*****'

; *****
; set time span
; *****
timespan, '2017-03-28', 1, /day

```

1.2 軌道L2 CDFファイルを取得して, プロット下部に表示するように設定します

— 0.1  0

Lm	4.8	4.5	6.2	1.9	6.1	3.6	5.8
MLT	5.5	1.6	4.5	19.4	3.7	6.6	2.6
MLAT	2.0	-14.8	10.2	-32.8	-9.9	13.7	-17.8
hhmm	0000	0400	0800	1200	1600	2000	0000
2017	Mar 28						Mar 29

```

; *****
; load orbit CDF & set var label
; *****
set_erg_var_label

```

1. 必要なファイルの読み込み

1.3 PWE OFA-MATRIX(スペクトルマトリクス) CDFを取得します

また、磁場座標系への座標変換のためにMGF 64Hz L2 CDFを取得します

```

; *****
; load OFA-MATRIX
; *****
erg_load_pwe_ofa, datatype='matrix', uname=uname, pass=pass
pr_matrix = 'erg_pwe_ofa_matrix_l2_'

; *****
; load MGF L2 CDF
; *****
erg_load_mgf, datatype='64hz', coord='sgi', uname=uname, pass=pass

```

'spec' : パワースペクトル (OFA-SPEC)
'matrix' : スペクトルマトリクス (OFA-MATRIX)
'complex' : 複素スペクトル (OFA-COMPLEX)

'8sec' : 8秒平均データ
'64hz' : 64Hzデータ
'256hz' : 256Hzデータ

'sgi': Spinning satellite Geometry Inertia coordinate
'dsi': Despun Sun sector Inertia coordinate

> tplot_names

...

26 erg_pwe_ofa_matrix_l2_Ex_Ex_132
27 erg_pwe_ofa_matrix_l2_Ey_Ey_132
28 erg_pwe_ofa_matrix_l2_Ex_Ey_132
29 erg_pwe_ofa_matrix_l2_Ey_Ex_132
30 erg_pwe_ofa_matrix_l2_Etotal_132
31 erg_pwe_ofa_matrix_l2_quality_flag_e132
32 erg_pwe_ofa_matrix_l2_Bx_Bx_132
33 erg_pwe_ofa_matrix_l2_By_By_132
34 erg_pwe_ofa_matrix_l2_Bz_Bz_132

35 erg_pwe_ofa_matrix_l2_Bx_By_132
36 erg_pwe_ofa_matrix_l2_Bx_Bz_132
37 erg_pwe_ofa_matrix_l2_By_Bx_132
38 erg_pwe_ofa_matrix_l2_By_Bz_132
39 erg_pwe_ofa_matrix_l2_Bz_Bx_132
40 erg_pwe_ofa_matrix_l2_Bz_By_132
41 erg_pwe_ofa_matrix_l2_Btotal_132
42 erg_pwe_ofa_matrix_l2_quality_flag_b132

> tplot_names

...

43 erg_mgf_l2_date_time_64hz
44 erg_mgf_l2_mag_64hz_sgi
45 erg_mgf_l2_dyn_rng_64hz
46 erg_mgf_l2_quality_64hz
47 erg_mgf_l2_quality_64hz_gc
48 erg_mgf_l2_spin_phase_64hz
49 erg_mgf_l2_ti_64hz

1. 必要なファイルの読み込み

1.4 get_dataコマンドを用いて, スペクトルマトリクス各成分をIDL変数に格納します

```
; *****
; analyze OFA-MATRIX
; *****
get_data, pr_matrix + 'Bx_Bx_132', data=s00
get_data, pr_matrix + 'Bx_By_132', data=s01
get_data, pr_matrix + 'Bx_Bz_132', data=s02

get_data, pr_matrix + 'By_Bx_132', data=s10
get_data, pr_matrix + 'By_By_132', data=s11
get_data, pr_matrix + 'By_Bz_132', data=s12

get_data, pr_matrix + 'Bz_Bx_132', data=s20
get_data, pr_matrix + 'Bz_By_132', data=s21
get_data, pr_matrix + 'Bz_Bz_132', data=s22
```

> help, s10

```
** Structure <155fc930>, 2 tags,
length=11489600, data length=11489600, refs=1:
X    DOUBLE Array[10806]      (時刻情報)
Y    FLOAT   Array[10806, 132, 2] (クロススペクトル)
V    FLOAT   Array[132]       (第二軸のラベル)
```

スペクトルマトリクス各要素は
 $x(\text{時刻}) * 132(\text{周波数分解能}) * 2(\text{実部, 虚部})$
 の大きさの配列に格納されています

1.5 スペクトルマトリクス各成分を用いて, 3*3行列を作成します

```
rr=dblarr(3,3,n_elements(s00.x),n_elements(s00.v2),2)

rr[0,0,*,*]=s00.y & rr[1,0,*,*]=s01.y & rr[2,0,*,*]=s02.y
rr[0,1,*,*]=s10.y & rr[1,1,*,*]=s11.y & rr[2,1,*,*]=s12.y
rr[0,2,*,*]=s20.y & rr[1,2,*,*]=s21.y & rr[2,2,*,*]=s22.y
```

> help,rr

```
RR DOUBLE =
Array[3, 3, 10806, 132, 2]
```

2. 磁場座標系への回転行列

2.1 MGF 64Hzデータを, スペクトルマトリクスの時刻タグに合わせて内挿します

```
; *****
; analyze MGF data
; *****
split_vec, 'erg_mgf_l2_mag_64hz_sgi'

tinterpol_mxn, 'erg_mgf_l2_mag_64hz_sgi_x', pr_matrix+'Bx_Bx_132'
tinterpol_mxn, 'erg_mgf_l2_mag_64hz_sgi_y', pr_matrix+'Bx_Bx_132'
tinterpol_mxn, 'erg_mgf_l2_mag_64hz_sgi_z', pr_matrix+'Bx_Bx_132'
```

Tips: データを内挿する (tinterpol_mxn)

tinterpol_mxn, **tplot変数1**, **tplot変数2**, newname=**tplot変数3**

tplot変数2の時刻タグに合わせて, **tplot変数1**のデータを内挿する

内挿されたデータは**tplot変数3**に格納される

newnameを省略した場合は, '元のtplot変数名_interp'という名前の変数に格納される

```
get_data, 'erg_mgf_l2_mag_64hz_sgi_x_interp', data=data_x, dlim=dlim_x, lim=lim_x
get_data, 'erg_mgf_l2_mag_64hz_sgi_y_interp', data=data_y, dlim=dlim_y, lim=lim_y
get_data, 'erg_mgf_l2_mag_64hz_sgi_z_interp', data=data_z, dlim=dlim_z, lim=lim_z
```


2. 磁場座標系への回転行列

2.2 内挿したMGF 64Hzデータから,
SGI座標系 → 背景磁場座標系($B_0 // z$) の変換行列を求めます

```
rotmat=dblarr(3,3,n_elements(data_x.x))
rotmat_t=dblarr(3,3,n_elements(data_x.x))

for i=0, n_elements(data_x.x)-1 do begin

  bvec=[data_x.y[i],data_y.y[i],data_z.y[i]]
  zz=[0.,0.,1.]

  yhat=crossp(zz,bvec)
  xhat=crossp(yhat,bvec)
  zhat=bvec

  xhat=xhat/sqrt(xhat[0]^2+xhat[1]^2+xhat[2]^2)
  yhat=yhat/sqrt(yhat[0]^2+yhat[1]^2+yhat[2]^2)
  zhat=zhat/sqrt(zhat[0]^2+zhat[1]^2+zhat[2]^2)

  rotmat[*,* ,i]=([[xhat],[yhat],[zhat]])
  rotmat_t[*,* ,i]=transpose([[xhat],[yhat],[zhat]])
endfor
```

3. 磁場座標系への回転

3.1 求めた回転行列を確認するために、MGFデータ (SGI座標系)を磁場座標系に変換してみます

Tips: 行列の積
(A # B, A ## B)

C = A # B → C = BA

C = A ## B → C = AB

(3.1より)

```
get_data, 'mag_64hz_sgi_x_interp', data=data_x
get_data, 'mag_64hz_sgi_y_interp', data=data_y
get_data, 'mag_64hz_sgi_z_interp', data=data_z
```

```
; MGF rotation
data_rot=dblarr(n_elements(data_x.x), 3)

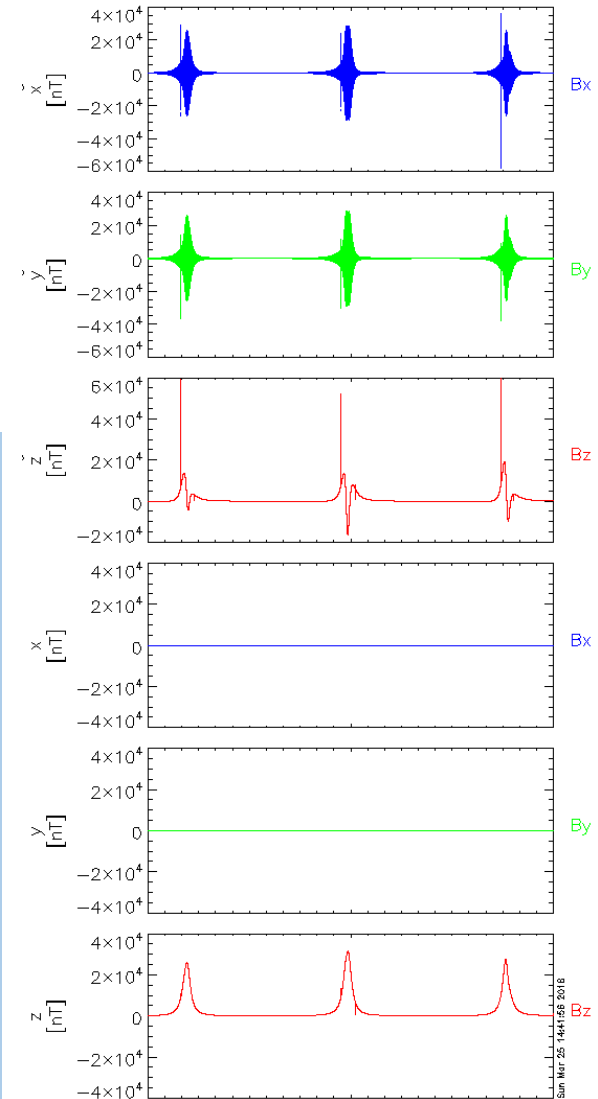
for i=0, n_elements(data_x.x)-1 do begin

    data=[[data_x.y[i]], [data_y.y[i]], [data_z.y[i]]]
    data_rot[i,*] = rotmat[*,* ,i] ## data

endfor

store_data, 'erg_mgf_l2_mag_64hz_sgi_rot_x', $
    data={x:data_x.x, y:data_rot[* ,0]}, dlim=dlim_x, lim=lim_x
store_data, 'erg_mgf_l2_mag_64hz_sgi_rot_y', $
    data={x:data_y.x, y:data_rot[* ,1]}, dlim=dlim_y, lim=lim_y
store_data, 'erg_mgf_l2_mag_64hz_sgi_rot_z', $
    data={x:data_z.x, y:data_rot[* ,2]}, dlim=dlim_z, lim=lim_z

ylim, 'erg_mgf_l2_mag_64hz_sgi_rot_?', -1E4, 4E4, 0
tplot, [ 'erg_mgf_l2_mag_64hz_sgi_' + ['x', 'y', 'z'], $
    'erg_mgf_l2_mag_64hz_sgi_rot_' + ['x', 'y', 'z'] ]
```



Lm	4.8	1.9	5.8
MLT	5.5	19.4	2.6
MLAT	2.0	-32.8	-17.8
hhmm	0000	1200	0000
2017	Mar 28		Mar 29

3. 磁場座標系への回転

3.2 求めた回転行列を用いて,
OFA-MATRIXデータ(SGI座標系)を背景磁場座標系($B_0 // z$)に変換します

```
; MATRIX ROTATION
for i=0, n_elements(s00.x)-1 do begin
  for j=0, n_elements(s00.v)-1 do begin
    for k=0, 1 do begin

      rr[*,*,i,j,k] = (rotmat[*,*,i] ## rr[*,*,i,j,k]) ## rotmat_t[*,*,i]

    endfor
  endfor
endfor
```

Tips: 行列の積 (A # B, A ## B)

$$C = A \# B \rightarrow C = BA$$

$$C = A \## B \rightarrow C = AB$$

分散共分散行列の定義
 $C = E(XX^T)$

回転行列をR
 $X' = RX$ とする

$$\begin{aligned} C' &= E(X'X'^T) \\ &= E(RXX^T R^T) \\ &= RE(XX^T)R^T \\ &= RCR^T \end{aligned}$$

4. パワースペクトルをプロット

4.1 OFA-MATRIXデータ(背景磁場座標系)を読み込み, 複素数を分解します
 スペクトルマトリクスに対角成分は, 各軸のパワースペクトルを表します
 (対角成分のimaginary partは常にゼロ)

$$S = \begin{bmatrix} \langle B_x B_x^* \rangle & \langle B_x B_y^* \rangle & \langle B_x B_z^* \rangle \\ \langle B_y B_x^* \rangle & \langle B_y B_y^* \rangle & \langle B_y B_z^* \rangle \\ \langle B_z B_x^* \rangle & \langle B_z B_y^* \rangle & \langle B_z B_z^* \rangle \end{bmatrix}$$

$$= \begin{bmatrix} |B_x|^2 & |B_x||B_y|e^{i(\phi_x-\phi_y)} & |B_x||B_z|e^{i(\phi_x-\phi_z)} \\ |B_y||B_x|e^{-i(\phi_x-\phi_y)} & |B_y|^2 & |B_y||B_z|e^{i(\phi_y-\phi_z)} \\ |B_z||B_x|e^{-i(\phi_x-\phi_z)} & |B_z||B_y|e^{-i(\phi_y-\phi_z)} & |B_z|^2 \end{bmatrix}$$

> help, data

** Structure <155fc1b0>, 3 tags, length=11489600,
 data length=11489600, refs=1:

X DOUBLE Array[10806] (時刻情報)
 Y FLOAT Array[10806, 132, 2] (クロススペクトル)
 V FLOAT Array[132] (第二軸のラベル)

data.y[*,* ,0] → real part

data.y[*,* ,1] → imaginary part

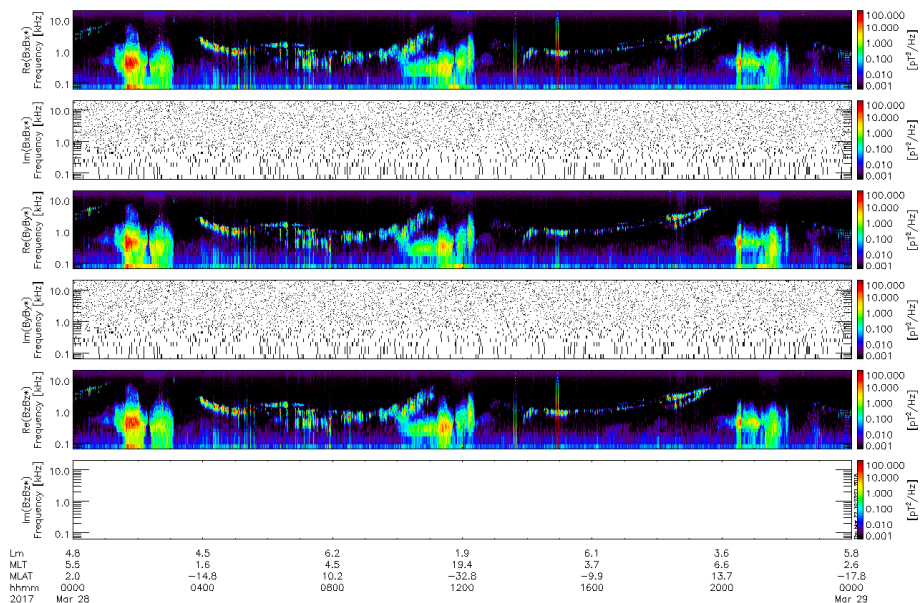
```
; *****
; auto-spectra
; *****
get_data, pr_matrix + 'Bx_Bx_132', data=data, dlim=dlim, lim=lim
store_data, pr_matrix + 'Bx_Bx_re', data={x:data.x, y:data.y[*,* ,0], v:data.v}, dlim=dlim, lim=lim
store_data, pr_matrix + 'Bx_Bx_im', data={x:data.x, y:data.y[*,* ,1], v:data.v}, dlim=dlim, lim=lim
;
get_data, pr_matrix + 'By_By_132', data=data, dlim=dlim, lim=lim
store_data, pr_matrix + 'By_By_re', data={x:data.x, y:data.y[*,* ,0], v:data.v}, dlim=dlim, lim=lim
store_data, pr_matrix + 'By_By_im', data={x:data.x, y:data.y[*,* ,1], v:data.v}, dlim=dlim, lim=lim
;
get_data, pr_matrix + 'Bz_Bz_132', data=data, dlim=dlim, lim=lim
store_data, pr_matrix + 'Bz_Bz_re', data={x:data.x, y:data.y[*,* ,0], v:data.v}, dlim=dlim, lim=lim
store_data, pr_matrix + 'Bz_Bz_im', data={x:data.x, y:data.y[*,* ,1], v:data.v}, dlim=dlim, lim=lim
```

4. パワースペクトルをプロット

4.2 OFA-MATRIXデータ(背景磁場座標系)を使って, パワースペクトルをプロットします

```
options, pr_matrix + 'Bx_Bx_re', ytitle='Re(BxBx*)'
options, pr_matrix + 'Bx_Bx_im', ytitle='Im(BxBx*)'
options, pr_matrix + 'By_By_re', ytitle='Re(ByBy*)'
options, pr_matrix + 'By_By_im', ytitle='Im(ByBy*)'
options, pr_matrix + 'Bz_Bz_re', ytitle='Re(BzBz*)'
options, pr_matrix + 'Bz_Bz_im', ytitle='Im(BzBz*)'
options, pr_matrix + 'B?_B?_??', ysubtitle = 'Frequency [kHz]'
options, pr_matrix + 'B?_B?_??', ztitle = '[pT!U2!N/Hz]'
ylim, pr_matrix + 'B?_B?_??', 0.064, 20, 1 ; kHz
zlim, pr_matrix + 'B?_B?_??', 1E-3, 1E2, 1 ; nT

tplot, pr_matrix + ['Bx_Bx_re', 'Bx_Bx_im', 'By_By_re', 'By_By_im', 'Bz_Bz_re', 'Bz_Bz_im']
```



5. Means' methodによるwave normal angle推定

5.1 OFA-MATRIXデータ(背景磁場座標系)にMeans' methodを適用します

```

; *****
; wave normal angle
; *****
wna=dblarr(n_elements(s00.x), n_elements(s00.v))

for i=0, n_elements(s00.x)-1 do begin
  for j=0, n_elements(s00.v)-1 do begin
    ; wave normal
    wna_x = rr[2,1,i,j,1] / sqrt(rr[2,1,i,j,1]^2 + rr[0,2,i,j,1]^2 + rr[1,0,i,j,1]^2)
    wna_y = rr[0,2,i,j,1] / sqrt(rr[2,1,i,j,1]^2 + rr[0,2,i,j,1]^2 + rr[1,0,i,j,1]^2)
    wna_z = rr[1,0,i,j,1] / sqrt(rr[2,1,i,j,1]^2 + rr[0,2,i,j,1]^2 + rr[1,0,i,j,1]^2)

    wna[i,j] = abs(atan(sqrt(wna_x^2+wna_y^2)/wna_z)/!dtor)
  endfor
endfor

store_data, 'kvec', data={x:s00.x, y:wna, v:s00.v}

options, 'kvec', ytitle='wave normal angle', $
          ztitle='[degree]', ysubtitle='Frequency [kHz]', spec = 1

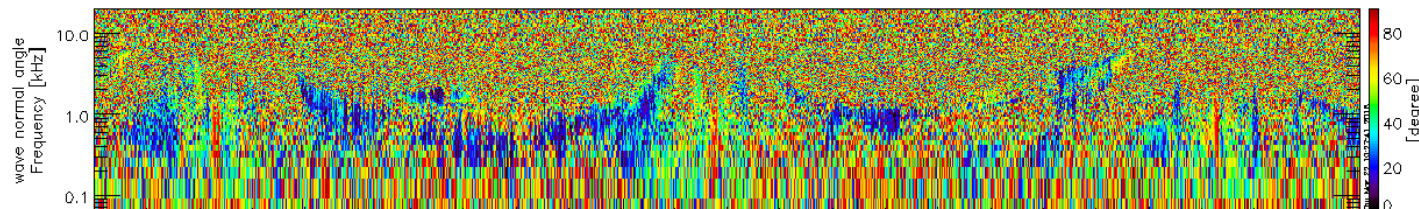
ylim, 'kvec', 0.064, 20, 1 ; kHz
zlim, 'kvec', 0., 90, 0 ; degree

tplot, [pr_matrix+'Bx_Bx_re', pr_matrix+'By_By_re', pr_matrix+'Bz_Bz_re', 'kvec']

```

Means et al. (1972)

$$k \parallel \begin{pmatrix} \text{Im}(S_{YZ}) \\ \text{Im}(S_{ZX}) \\ \text{Im}(S_{XY}) \end{pmatrix}$$



Lm	4.8	4.5	6.2	1.9	6.1	3.6	5.8
MLT	5.5	1.6	4.5	19.4	3.7	6.6	2.6
MLAT	2.0	-14.8	10.2	-32.8	-9.9	13.7	-17.8
hhmm	0000	0400	0800	1200	1600	2000	0000
2017	Mar 28						Mar 29

6. Polarizationを計算

6.1 OFA-MATRIXデータ(背景磁場座標系)から、偏波(polarization)を計算します

```

; *****
; polarization
; *****
Polarization = $
  dblarr(n_elements(s00.x),n_elements(s00.v))

for i=0, n_elements(s00.x)-1 do begin
  for j=0, n_elements(s00.v)-1 do begin
    polarization[i,j] = $
      (2 * rr[1,0,i,j,1]) / (rr[0,0,i,j,0] + rr[1,1,i,j,0])
  endfor
endfor

store_data, 'polarization',data={x:s00.x, y:polarization, v:s00.v}

options, 'polarization', ytitle='polarization', ysubtitle='Frequency [kHz]', spec = 1

ylim, 'polarization', 0.064, 20., 1 ; kHz
zlim, 'polarization', -1., 1., 0 ;

tplot, [pr_matrix+'Bx_Bx_re', pr_matrix+'By_By_re', pr_matrix+'Bz_Bz_re', 'polarization']

```

磁力線に対して垂直な面における信号を、次のようにおく

$$H_x(t) = a_x(t)e^{i(\omega t + \phi_x(t))}$$

$$H_y(t) = a_y(t)e^{i(\omega t + \phi_y(t))}$$

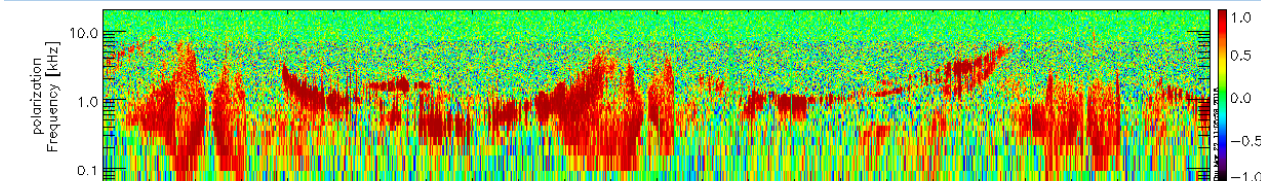
スペクトルマトリクスは

$$S = \begin{bmatrix} \langle H_x H_x^* \rangle & \langle H_x H_y^* \rangle \\ \langle H_y H_x^* \rangle & \langle H_y H_y^* \rangle \end{bmatrix} \\ = \begin{bmatrix} \langle a_x^2 \rangle & \langle a_x a_y e^{i(\phi_x - \phi_y)} \rangle \\ \langle a_x a_y e^{-i(\phi_x - \phi_y)} \rangle & \langle a_y^2 \rangle \end{bmatrix}$$

$$a_x a_y e^{i(\phi_x - \phi_y)} = a_x a_y \cos(\phi_x - \phi_y) + i a_x a_y \sin(\phi_x - \phi_y)$$

偏波率 η は

$$\eta = \frac{\langle 2 a_x a_y \sin(\phi_x - \phi_y) \rangle}{\langle a_x^2 \rangle + \langle a_y^2 \rangle} = \frac{2 \text{Im}(s_{10})}{s_{00} + s_{11}}$$



Lm	4.8	4.5	6.2	1.9	6.1	3.6	5.8
MLT	5.5	1.6	4.5	19.4	3.7	6.6	2.6
MLAT	2.0	-14.8	10.2	-32.8	-9.9	13.7	-17.8
hhmm	0000	0400	0800	1200	1600	2000	0000
2017	Mar 28						Mar 29

7. 解析結果をマスク

7.1 磁場のパワースペクトル(Btotal_132)を使って、解析結果をマスクします

```

; *****
; mask
; *****
get_data, pr_matrix + 'B_total_132', data=data_ref

; kvec
get_data, 'kvec', data=data, dlim=dlim, lim=lim
data.y[where(data_ref.y LT 1E-2)] = 'NaN'
store_data, 'kvec_mask', data={x:data.x, y:data.y, v:data.v}, dlim=dlim, lim=lim

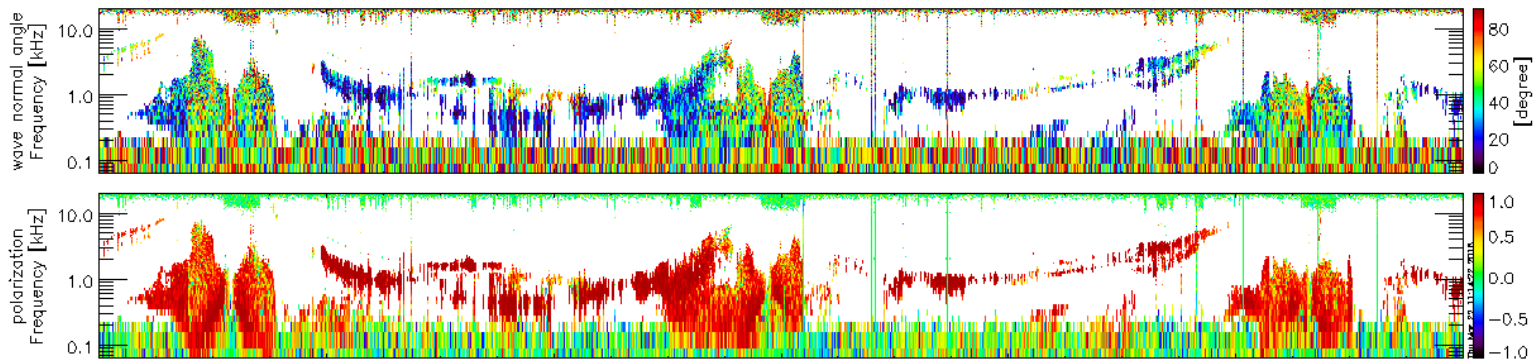
; polarization
get_data, 'polarization', data=data, dlim=dlim, lim=lim
data.y[where(data_ref.y LT 1E-2)] = 'NaN'
store_data, 'polarization_mask', data={x:data.x, y:data.y, v:data.v}, dlim=dlim, lim=lim

tplot, [pr_matrix + 'Bx_Bx_re', pr_matrix + 'By_By_re', pr_matrix + 'Bz_Bz_re', $
       'kvec_mask', 'polarization_mask']

```

Tips: 条件を満たす配列要素の番号を返す (where)

ret = where(配列 <演算子> 条件)
 配列の中から、引数として与えられる条件式を
 満たす要素の番号を、配列として返す



Lm	4.8	4.5	6.2	1.9	6.1	3.6	5.8
MLT	5.5	1.6	4.5	19.4	3.7	6.6	2.6
MLAT	2.0	-14.8	10.2	-32.8	-9.9	13.7	-17.8
hhmm	0000	0400	0800	1200	1600	2000	0000
2017	Mar 28						Mar 29

8. まとめてプロット

8.1 MGFデータから電子サイクロトン周波数を計算して、重ねてプロットします

```

; *****
; overplot fce
; *****
get_data, 'erg_mgf_l2_magt_8sec', data=data
fce = data.y/ 10^(9.) * 1.6 * 10^(-19.) / (9.1093D * 10^(-31.)) / 2. / !pi / 1000.
fce_half = fce / 2.

store_data, 'fce', data={x:data.x, y:fce}
store_data, 'fce_half', data={x:data.x, y:fce_half}

options, 'fce', colors=fsc_color('yellow'), thick=2
options, 'fce_half', colors=fsc_color('magenta'), thick=2

```

Tips: 複数のtplot変数をマージしたtplot変数を作る (store_data)

store_data, tplot変数1, data=[tplot変数2, tplot変数3]

tplot変数2とtplot変数3をマージして, tplot変数1に格納する.

といっても, tplot変数1の実体は 'tplot変数2, tplot変数3' という単なる文字列

```

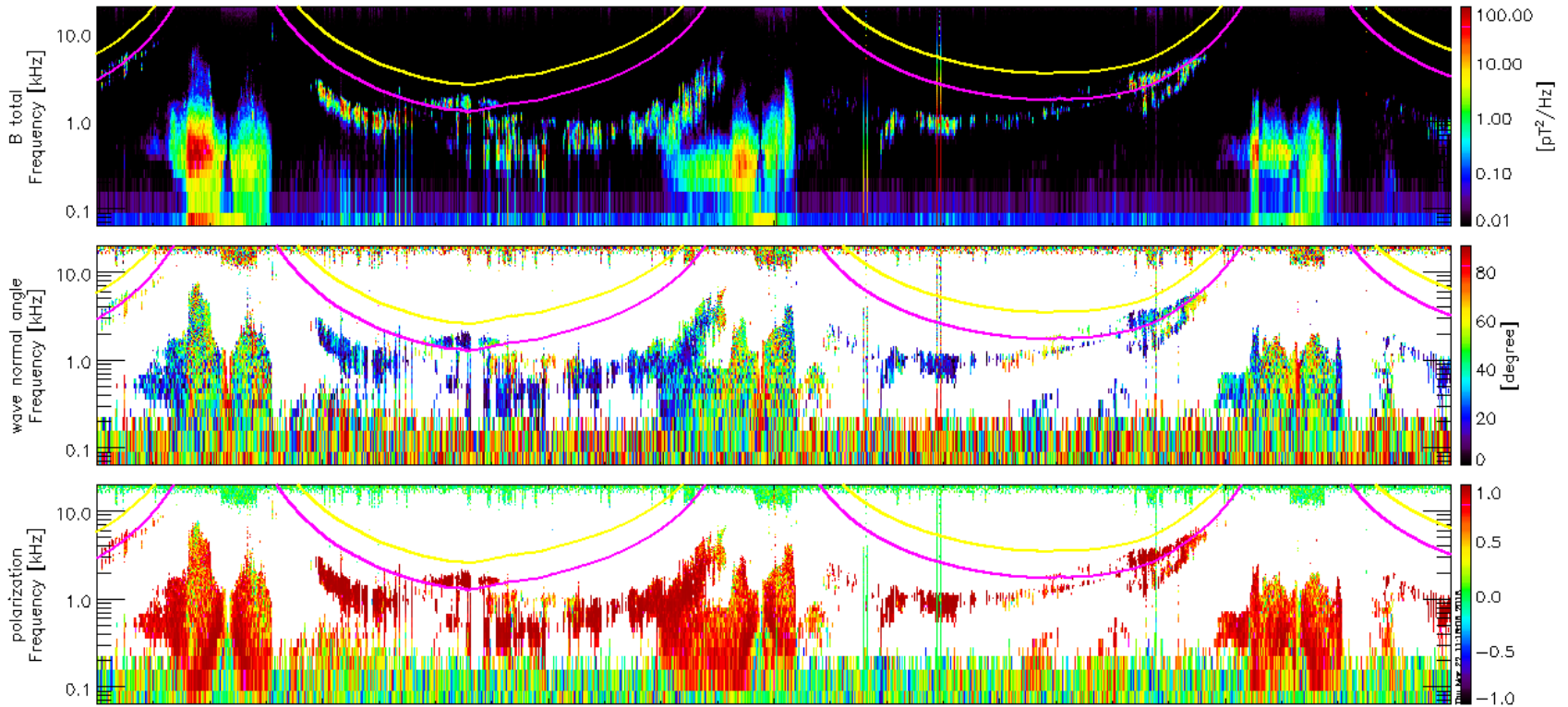
store_data, pr_matrix + 'Btotal_132_gyro', $
      data=[pr_matrix + 'Btotal_132', 'fce', 'fce_half']
store_data, 'kvec_mask_gyro', data=['kvec_mask', 'fce', 'fce_half']
store_data, 'polarization_mask_gyro', data=['polarization_mask', 'fce', 'fce_half']

ylim, '*_gyro', 0.064, 20, 1 ; kHz
zlim, pr_matrix + 'Btotal_132_gyro', 1E-2, 1E2, 1 ; pT^2/Hz
options, 'erg_pwe_ofa_l2_Btotal_132_gyro', $
      ytitle='B total', ysubtitle='Frequency [kHz]', ztitle='[pT!U2!N/Hz]'
tplot, [pr_matrix + 'Btotal_132', 'kvec_mask', 'polarization_mask'] + '_gyro'

```

8. まとめてプロット

8.1 MGFデータから電子サイクロトロン周波数を計算して、重ねてプロットします



Lm	4.8	4.5	6.2	1.9	6.1	3.6	5.8
MLT	5.5	1.6	4.5	19.4	3.7	6.6	2.6
MLAT	2.0	-14.8	10.2	-32.8	-9.9	13.7	-17.8
hhmm	0000	0400	0800	1200	1600	2000	0000
2017	Mar 28						Mar 29

Memo

SPEDAS training session (28 Mar. 2018)

Advanced course [2 of 2]

Arase/PWE OFA-COMPLEX analysis

1. CDF読み込み

- PWE/OFA-COMPLEX L2(pre)
- MGF 64Hz L2(pre)

2. 未測定のエズを推定

- $E \cdot B = 0$ を仮定

3. Poynting Vectorを計算する

4. SGI座標系→磁場座標系への変換行列を計算する

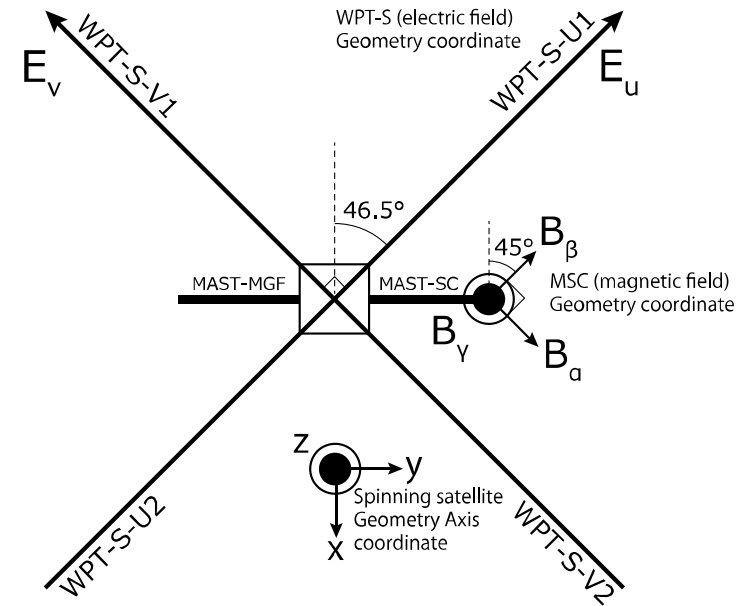
5. 求めたベクトルを磁場座標系に変換する

6. 磁場とのなす角を計算してプロットする

7. 解析結果をパワーでマスク

8. サイクロトロン周波数をオーバープロット

- MGF 8sec L2 CDFを読み込み



1. 必要なファイルの読み込み

1.1 PWE OFA-COMPLEX(複素スペクトル) CDFを取得します

```
; *****
; load OFA-COMPLEX
; *****
erg_load_pwe_ofa, datatype='complex', uname=uname, pass=pass
pr_complex = 'erg_pwe_ofa_complex_l2_'
```

```
> tplot_names
```

```
...
```

```
92 erg_pwe_ofa_complex_l2_Ex_132
93 erg_pwe_ofa_complex_l2_Ey_132
94 erg_pwe_ofa_complex_l2_Etotal_132
95 erg_pwe_ofa_complex_l2_Bx_132
96 erg_pwe_ofa_complex_l2_By_132
97 erg_pwe_ofa_complex_l2_Bz_132
98 erg_pwe_ofa_complex_l2_Btotal_132
```

```
> help, data_ex
```

```
** Structure <184f9730>, 3 tags, length=11488536,
data length=11488536, refs=1:
```

```
X    DOUBLE Array[10803]      (時刻情報)
Y    FLOAT   Array[10803, 132, 2] (複素スペクトル)
V    FLOAT   Array[132]       (第二軸のラベル)
```

```
get_data, pr_complex + 'Ex_132', data=data_ex, dlim=dlim, lim=lim
c_ex = dcomplex(data_ex.y[*,* ,0]*1E-3, data_ex.y[*,* ,1]*1E-3)
```

```
get_data, pr_complex + 'Ey_132', data=data, dlim=dlim, lim=lim
c_ey = dcomplex(data.y[*,* ,0]*1E-3, data.y[*,* ,1]*1E-3)
```

```
get_data, pr_complex + 'Bx_132', data=data_bx, dlim=dlim, lim=lim
c_bx = dcomplex(data_bx.y[*,* ,0]*1E-12, data_bx.y[*,* ,1]*1E-12)
```

```
get_data, pr_complex + 'By_132', data=data, dlim=dlim, lim=lim
c_by = dcomplex(data.y[*,* ,0]*1E-12, data.y[*,* ,1]*1E-12)
```

```
get_data, pr_complex + 'Bz_132', data=data, dlim=dlim, lim=lim
c_bz = dcomplex(data.y[*,* ,0]*1E-12, data.y[*,* ,1]*1E-12)
```

2. Ezを推定する

2.1 未測定 of 電界成分 (Ez)を推定します.

```

; *****
; calc Ez
; *****
c_ez = dcindgen(n_elements(data_ex.x), n_elements(data_ex.v))

idx = nn(data_bx.x, data_ex.x)

```

Tips:指定した時刻に最も近い時刻タグの配列番号を調べる (nn)

`idx = nn(data, time)`

data: データ構造体, またはtplot変数名

time: Unix time形式の時刻.

データ構造体の中で, この時刻に最も近いデータの配列番号がidxに返る.

```

for i=0, n_elements(data_ex.x)-1 do begin
    c_ez[i,*] = (-c_ex[i,*]*c_bx[idx[i],*] $
                - c_ey[i,*]*c_by[idx[i],*]) / c_bz[idx[i],*]
endfor

```

$E \cdot B = 0$ を仮定する

$$E_z = \frac{-E_x B_x - E_y B_y}{B_z}$$

3. Poynting vectorを計算する

```
Sx=dindgen(n_elements(data_bx.x),n_elements(data_bx.v))
Sy=dindgen(n_elements(data_bx.x),n_elements(data_bx.v))
Sz=dindgen(n_elements(data_bx.x),n_elements(data_bx.v))

; calc Poynting flux
idx = nn(data_ex.x, data_bx.x)
```

Tips:指定した時刻に最も近い時刻タグの配列番号を調べる (nn)

```
idx = nn( data, time )
```

data: データ構造体, またはtplot変数名

time: Unix time形式の時刻.

データ構造体の中で, この時刻に最も近いデータの配列番号がidxに返る.

```
for i=0, n_elements(data_bx.x)-1 do begin
  for j=0, n_elements(data_bx.v)-1 do begin
```

```
    Sx[i,j]= double(c_ey[idx[i],j]*conj(c_bz[i,j])-c_ez[idx[i],j]*conj(c_by[i,j]))
    Sy[i,j]=-double(c_ex[idx[i],j]*conj(c_bz[i,j])-c_ez[idx[i],j]*conj(c_bx[i,j]))
    Sz[i,j]= double(c_ex[idx[i],j]*conj(c_by[i,j])-c_ey[idx[i],j]*conj(c_bx[i,j]))
```

```
  endfor
endfor
```

Poynting vectorの定義

$$S = \frac{1}{2} (E \times H^*)$$

$$\parallel \begin{pmatrix} E_y B_z^* - E_z B_y^* \\ -E_x B_z^* - E_z B_x^* \\ E_x B_y^* - E_y B_x^* \end{pmatrix}$$

4. 磁場座標系への回転行列

4.1 MGF 64Hzデータを, 複素スペクトルの時刻タグに合わせて内挿します

```
; *****  
; analyze MGF data  
; *****  
split_vec, 'erg_mgf_l2_mag_64hz_sgi'  
  
; interpolation  
tinterpol_mxn, 'erg_mgf_l2_mag_64hz_sgi_x', pr_complex + 'Bx_132'  
tinterpol_mxn, 'erg_mgf_l2_mag_64hz_sgi_y', pr_complex + 'Bx_132'  
tinterpol_mxn, 'erg_mgf_l2_mag_64hz_sgi_z', pr_complex + 'Bx_132'  
  
get_data, 'erg_mgf_l2_mag_64hz_sgi_x_interp', data=data_x  
get_data, 'erg_mgf_l2_mag_64hz_sgi_y_interp', data=data_y  
get_data, 'erg_mgf_l2_mag_64hz_sgi_z_interp', data=data_z
```

Tips: データを内挿する (tinterpol_mxn)

tinterpol_mxn, **tplot変数1**, **tplot変数2**, newname=**tplot変数3**

tplot変数2の時刻タグに合わせて, **tplot変数1**のデータを内挿する
内挿されたデータは**tplot変数3**に格納される

4. 磁場座標系への回転行列

4.2 内挿したMGF 64Hzデータから,
SGI座標系 → 背景磁場座標系($B_0 // z$) の変換行列を求めます

```
; rotation matrix
rotmat=dblarr(3,3,n_elements(data_x.x))
rotmat_t=dblarr(3,3,n_elements(data_x.x))

for i=0, n_elements(data_x.x)-1 do begin

  bvec=[data_x.y[i],data_y.y[i],data_z.y[i]]
  zz=[0.,0.,1.]

  yhat=crossp(zz,bvec)
  xhat=crossp(yhat,bvec)
  zhat=bvec

  xhat=xhat/sqrt(xhat[0]^2+xhat[1]^2+xhat[2]^2)
  yhat=yhat/sqrt(yhat[0]^2+yhat[1]^2+yhat[2]^2)
  zhat=zhat/sqrt(zhat[0]^2+zhat[1]^2+zhat[2]^2)

  rotmat[*,* ,i]=([[xhat],[yhat],[zhat]])
  rotmat_t[*,* ,i]=transpose([[xhat],[yhat],[zhat]])
endfor
```

5. ベクトルを磁場座標系に変換する

5.1 ベクトルを SGI座標系 → 背景磁場座標系($B_0 // z$)に変換し、
背景磁場に対する角度を計算します

```
; *****
; Poynting vector calculation
; *****
S=dindgen(n_elements(data_bx.x),n_elements(data_bx.v),3)

for i=0, n_elements(data_bx.x)-1 do begin
  for j=0, n_elements(data_bx.v)-1 do begin

    S[i,j,*] = rotmat[*,* ,i] ## [Sx[i,j],Sy[i,j],Sz[i,j]]

  endfor
endfor
```

Tips: 行列の積 (A # B, A ## B)

C = A # B → C = BA

C = A ## B → C = AB

6. 磁場とのなす角を計算する

6.1 ベクトルの背景磁場に対する角度を計算します

```

theta=acos(S[*,* ,2]/sqrt(S[*,* ,0]^2+S[*,* ,1]^2+S[*,* ,2]^2))/!dior

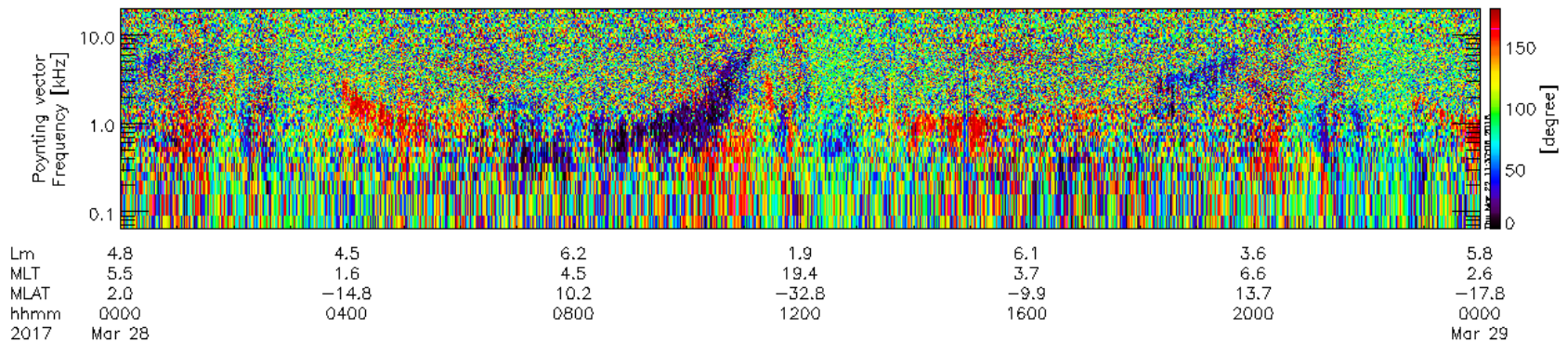
store_data, 'S', data={x:data_bx.x, y:theta, v:data_bx.v}, dlim=dlim, lim=lim

ylim, [pr_complex + 'Etotal_132', pr_complex + 'Btotal_132', 'S'], 0.064, 20, 1
zlim, pr_complex + 'Etotal_132', 1E-7, 1E0, 1 ; mV^2/m^2/Hz
zlim, pr_complex + 'Btotal_132', 1E-2, 1E2, 1 ; pT^2/Hz
zlim, 'S', 0., 180., 0 ; degree

options, [pr_complex + 'Etotal_132', pr_complex+'Btotal_132', 'S'], $
          ysubtitle='Frequency [kHz]'
options, pr_complex + 'Etotal_132', ytitle='E total', ztitle='[mV!U2!N/m!U2!N/Hz]'
options, pr_complex + 'Btotal_132', ytitle='B total', ztitle='[pT!U2!N/Hz]'
options, 'S', ytitle='Poynting vector', ztitle='[degree]'

tplot, [pr_complex + 'Etotal_132', pr_complex + 'Btotal_132', 'S']

```



7. 解析結果をマスク

7.1 磁場のパワースペクトル(Btotal_132)を使って, 解析結果をマスクします

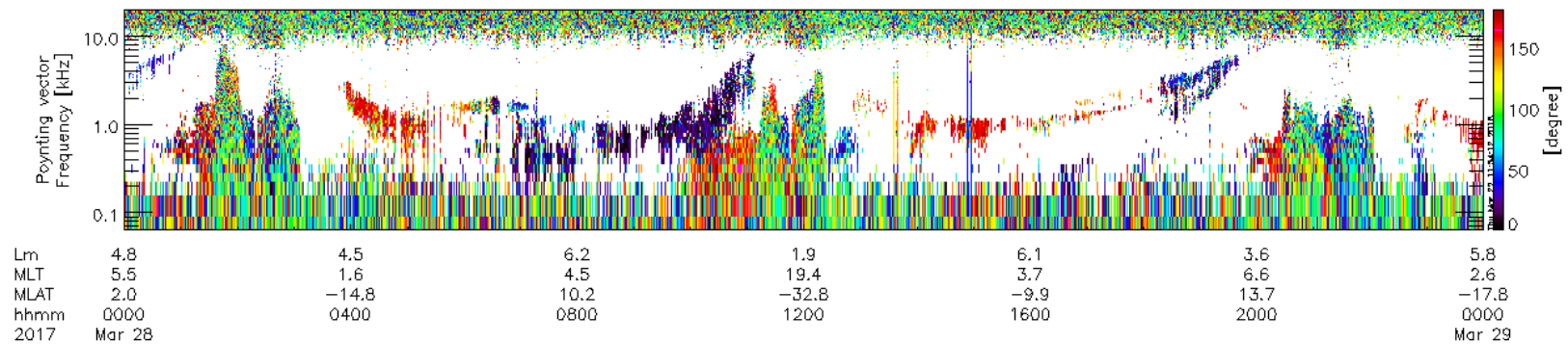
```

; *****
; mask
; *****
get_data, pr_complex + 'Btotal_132', data=data_ref

; S
get_data, 'S', data=data, dlim=dlim, lim=lim
data.y[where(data_ref.y LT 1E-2)] = 'NaN'
store_data, 'S_mask', data={x:data.x, y:data.y, v:data.v}, dlim=dlim, lim=lim

tplot, [pr_complex + 'Etotal_132', pr_complex + 'Btotal_132', 'S_mask']

```



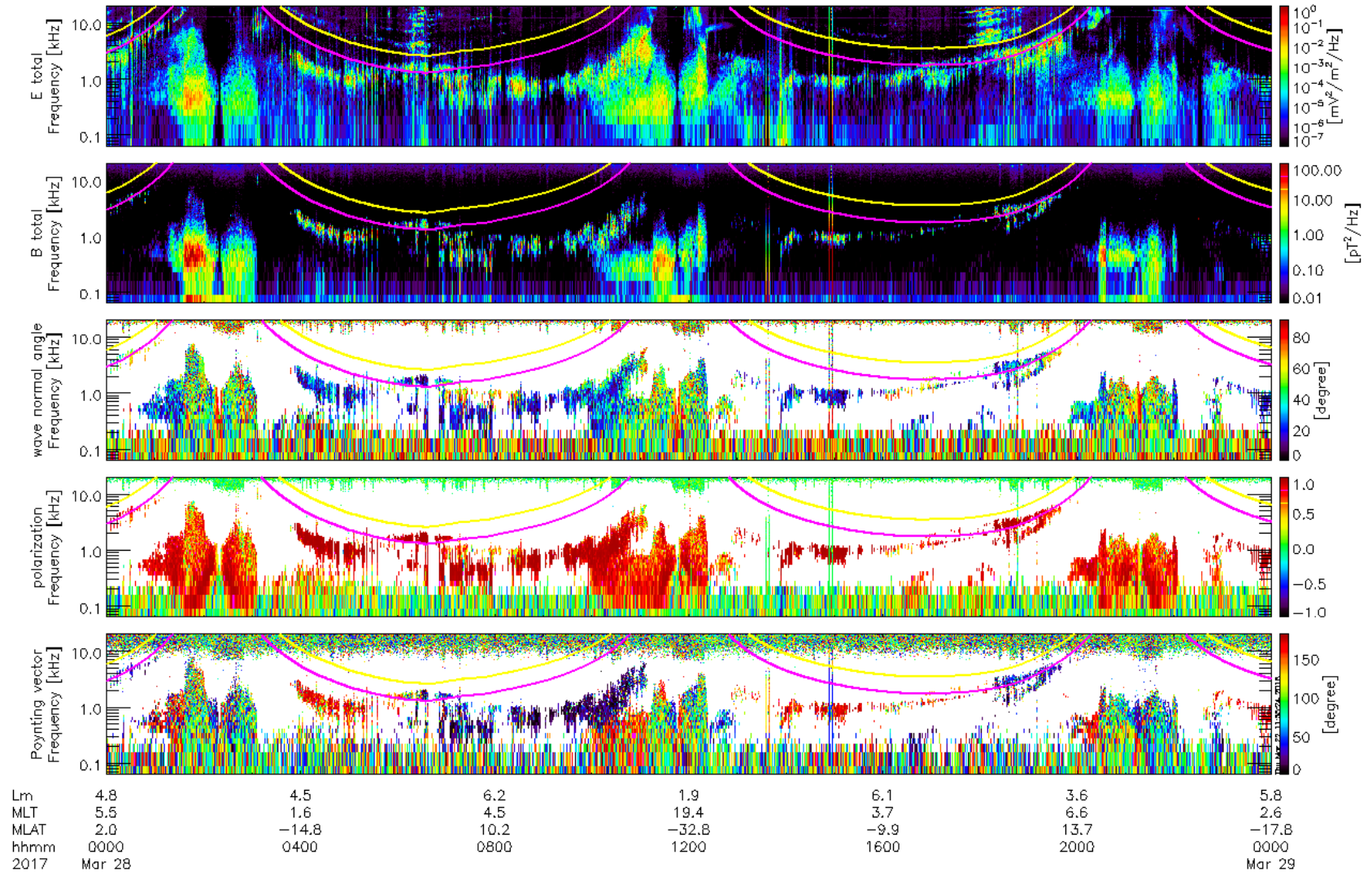
8. まとめてプロット

8.1 MGFデータから電子サイクロロン周波数を計算して、重ねてプロットします

```
; *****  
; overplot fce  
; *****  
store_data, pr_complex+'Etotal_132_gyro', $  
    data=[pr_complex+ 'Etotal_132', 'fce', 'fce_half']  
store_data, pr_complex+ 'Btotal_132_gyro', $  
    data=[pr_complex+ 'Btotal_132', 'fce', 'fce_half']  
store_data, 'S_mask_gyro', data=['S_mask', 'fce', 'fce_half']  
  
ylim, '*_gyro', 0.064, 20, 1 ; kHz  
zlim, 'erg_pwe_ofa_l2_Etotal_132_gyro', 1E-7, 1E0, 1 ; mV^2/m^2/Hz  
zlim, 'erg_pwe_ofa_l2_Btotal_132_gyro', 1E-2, 1E2, 1 ; pT^2/Hz  
options, pr_complex+'Etotal_132_gyro', $  
    ytitle='E total', ysubtitle='Frequency [kHz]', ztitle='[mV!U2!N/m!U2!N/Hz]'  
options, pr_complex+'Btotal_132_gyro', $  
    ytitle='B total', ysubtitle='Frequency [kHz]', ztitle='[pT!U2!N/Hz]'  
  
tplot, [pr_complex+'Etotal_132', pr_complex+'Btotal_132', $  
    'kvec_mask', 'polarization_mask', 'S_mask'] + '_gyro'
```

8. まとめてプロット

8.1 MGFデータから電子サイクロトロン周波数を計算して、重ねてプロットします



Memo